

## مطالعه بیان اینترلوکین 20R1 و اینترلوکین 20R2 در سلول‌های آستروگلیال موش‌های C57BL/6

بهاره عبد نیک فرجام<sup>۱</sup>، معصومه ابتکار<sup>۲\*</sup>، فرزانه صابونی<sup>۳</sup>، زهرا پورپاک<sup>۴</sup>، مریم خیراندیش<sup>۵</sup>

- ۱- دانشجوی دکتری تخصصی، گروه ایمونولوژی، دانشکده علوم پزشکی، دانشگاه تربیت مدرس، تهران، ایران
- ۲- دانشیار، گروه ایمونولوژی، دانشکده علوم پزشکی، دانشگاه تربیت مدرس، تهران، ایران
- ۳- استادیار، گروه بیوشیمی، پژوهشگاه ملی مهندسی ژنتیک و زیست فناوری، تهران، ایران
- ۴- استاد، مرکز تحقیقات ایمونولوژی، آسم و آلرژی، دانشکده پزشکی، دانشگاه علوم پزشکی تهران، تهران، ایران
- ۵- استادیار، مرکز تحقیقات انتقال خون، انتیتو عالی پژوهش و آموزش در پزشکی انتقال خون، تهران، ایران

\*آدرس نویسنده مسئول: ایران، تهران، کدپستی: ۱۴۱۱۷۳۱۱۶، دانشگاه تربیت مدرس، دانشکده علوم پزشکی، گروه ایمونولوژی  
Email: ebtekar@modares.ac.ir

پذیرش مقاله: ۹۱/۱۱/۲۸

دریافت مقاله: ۹۱/۰۹/۰۸

### چکیده

هدف: آستروسیت‌ها بیشترین سلول‌های موجود در مغز هستند. این سلول‌ها قادرند التهاب سیستم اعصاب مرکزی را واپسی به سایتوکین‌هایی که تولید می‌کنند آغاز یا مهار نمایند. انتقال پیام اینترلوکین ۱۹، اینترلوکین ۲۰ و اینترلوکین ۲۴ از طریق اتصال به یک گیرنده هترودایمر متشکل از زنجیره  $\alpha$  اینترلوکین 20R1 و زنجیره  $\beta$  اینترلوکین 20R2 صورت می‌گیرد. مطالعات گذشته روشن نموده است که انتقال پیام توسط این کمپلکس‌های گیرنده واکنش‌های ایمنی را تحت تأثیر قرار می‌دهد؛ اما اعمال زیست‌شناختی اینترلوکین 20R1 و اینترلوکین 20R2 در مغز تاکنون روشن نشده است. به عنوان اولین مرحله برای شناخت نقش این گیرنده‌های سایتوکینی در مغز، بیان گیرنده‌های اینترلوکین 20R1 و اینترلوکین 20R2 توسط آستروسیت‌های موش C57BL/6 بررسی شد.

مواد و روش‌ها: در این تحقیق آستروسیت‌ها و رده سلولی آستروسیتوما 1321N1 توسط پیتید میلین الیگو‌دندروسیت گلیکوپروتئین، لیپو پلی ساکارید و GM-CSF تحریک شدند و تولید پروتئین گیرنده‌های اینترلوکین 20R1 و اینترلوکین 20R2 به روش فلوسیستومتری بررسی شد. همچنین تأثیر لیپو پلی ساکارید بر تولید mRNA این گیرنده‌های سایتوکینی توسط آستروسیت با استفاده از روش RT-PCR مطالعه شد.

نتایج: برای اولین بار در این مطالعه نشان داده شد که آستروسیت‌ها قادرند mRNA اینترلوکین 20R1 و اینترلوکین 20R2 نه تنها در پاسخ به تحریک لیپو پلی ساکارید بلکه در غیاب آن نیز بیان نمایند. به علاوه؛ بیان پروتئین اینترلوکین 20R1 و اینترلوکین 20R2 بر سطح آستروسیت‌ها و رده سلولی آستروسیتوما 1321N1 تشخیص داده نشد. نتیجه گیری: mRNA اینترلوکین 20R1 و اینترلوکین 20R2 به طور ساختاری و دایم در آستروسیت‌ها بیان می‌شود. از آنجایی که در بیشتر فرآیندهای نوروباتولوژیک آستروسیت‌ها و سایتوکین‌های التهابی نقش دارند این یافته‌ها که برای اولین بار گزارش می‌شود در تحقیقات آینده اهمیت ویژه‌ای دارد.

کلیدواژگان: آستروسیت‌ها، لیپو پلی ساکارید، اینترلوکین 20R1، اینترلوکین 20R2

مجله علوم پزشکی مدرس: آسیب‌شناسی زیستی، دوره ۱۵، شماره ۴، زمستان ۱۳۹۱، صفحات: ۴۷-۳۵

مطالعه بیان اینترلوکین 20R1 و اینترلوکین 2

GM-CSF (Monocyte Chemotactic Protein-1) و (Granulocyte Macrophage Colony Stimulating Factor) هستند. بنابراین آستروسیت‌ها التهاب سیستم اعصاب مرکزی را وابسته به سایتوکین‌هایی که ترشح می‌کنند آغاز یا مهار می‌نمایند [۸].

مطالعات نشان می‌دهند که آستروسیت‌ها طی فعال شدن طولانی در بدن یا پس از تحریک توسط TNF- $\alpha$ , IFN- $\gamma$ , Interferon- $\gamma$  (IFN- $\gamma$ )، IL-1 $\beta$  مولکول‌های Major Histocompatibility Complex (MHC Class II) را بیان می‌نمایند و ظرفیت تحریک سلول‌های CD4 $^{+}$  T اتوراکتیو خاطره‌ای اختصاصی می‌لین و فعال نمودن سلول‌های T به صورت اختصاصی آنتی‌ژن را کسب می‌کنند. این فرآیندها منجر به آغاز التهاب سیستم اعصاب مرکزی می‌شود و دارای نقش مهمی در بیماری زایی مالتیپل اسکلروزیس (Multiple Sclerosis: MS) است. گیرنده‌های بتا-۲-آدرنرژیک بیان مولکول‌های MHC Class II را در آستروسیت‌ها کنترل می‌نمایند؛ واکنش‌های اینمی منجر به از دست رفتن این گیرنده‌ها و در نتیجه کاهش وضعیت سرکوب کننده اینمی در آستروسیت‌ها می‌شود [۸].

آستروسیت‌ها به عنوان خط ثانویه سلول‌های عرضه کننده آنتی‌ژن غیرحرفه‌ای ساکن در سیستم اعصاب مرکزی عمل می‌نمایند که با آغاز التهاب توسط دیگر سلول‌های عرضه کننده آنتی‌ژن نظیر میکروگلیا (Microglia) و سلول‌های دندریتیک (Dendritic Cells) فعال می‌شوند. به واسطه آزادسازی موضعی IFN- $\gamma$ , آستروسیت‌ها پیتیدهای می‌لین را که از سلول‌های آسیب دیده در نزدیکی شان آزاد می‌شود را برداشت و عرضه می‌نمایند. همچنین این سلول‌ها قادرند برخی پیتیدهای نوروآنتی‌ژن مانند پیتیدهای می‌لین الیگوڈندروروسیت myelin Oligodendrocyte Glycoprotein: (Glycoprotein: MOG) را به طور مستقیم به واسطه مولکول‌های MHC Class II سطح سلولی اشغال نشده عرضه نمایند یا آن‌ها را برداشت، پردازش و عرضه کنند، نظیر پروتئین اصلی می‌لین (Myelin Basic Protein: MBP) [۸].

## مقدمه

دو نوع سلول اصلی در مغز وجود دارد؛ نورون‌ها که تحریک‌های الکتریکی را هدایت می‌کنند و واسطه‌های اصلی تشکیل حافظه هستند و آستروسیت‌ها (Astrocytes) که به طور عمدۀ اعمال پشتیبانی و محافظتی را برای نورون‌ها مهیا می‌کنند. آستروسیت یا آستروگلیا (Astroglia) از واژه یونانی "astro" به معنای ستاره نامگذاری شده است و بیشترین سلول‌های موجود در مغز بوده و ۹۰ درصد کل توده مغز را تشکیل می‌دهند. مطالعات نشان می‌دهند که آستروسیت‌ها نقش‌های مهمی در تنظیم اعمال مغز دارند که از آثار آن‌ها بر نورون‌ها مستقل است [۱]. به عنوان مثال این سلول‌ها در تمامی مراحل تکامل عصبی نقش اساسی دارند. همچنین قادرند به عنوان سلول‌های بنیادی عصبی عمل نمایند و موجب تولید نورون‌ها شوند [۲]، زواید آکسونی را هدایت [۳] و نوریت (Neuritis) را القا کنند [۴]، همچنین باعث تشکیل سیناپس [۵] و بقای نورون‌ها شوند [۶].

تحت شرایط خاصی که تاکنون به خوبی شناخته نشده است، آستروسیت‌ها می‌توانند التهاب را آغاز نمایند و همچنین با فعل شدن سلول‌های T واکنش‌گر با آنتی‌ژن‌های خودی (Auto-Reactive T Cells) مقابله نمایند. ممکن است پتانسیل پیش یا ضد التهابی آستروسیت‌ها به جایگاه آن‌ها و نیز سایتوکین‌هایی (Cytokines) که تولید می‌کنند وابسته باشد. یکی از نقش‌های فیزیولوژیک آستروسیت‌ها فعل کردن سلول‌های Th2 (T helper 2) و Th1 (T helper 1) و IL-4 (Interleukin 4) و IL-10 است که التهاب مغزی به واسطه سلول‌های T پیش التهابی را فروتنظیم می‌کند. به علاوه آستروسیت‌ها در سیستم اعصاب مرکزی پاسخ‌های پیش التهابی سلول‌های T را توسط القای (Anergy) و مرگ سلولی برنامه ریزی شده سلول‌های Cytotoxic T Lymphocyte (CTL) با میانجیگری CTLA-4 (CTLA-4) و CD95L (CD95L) سرکوب می‌نمایند. همچنین این سلول‌ها قادر به تولید سایتوکین‌های پیش التهابی مانند TNF- $\alpha$ , MCP-1, IL-1 $\beta$ , IL-6, (Tumor Necrosis Factor-  $\alpha$ )

هستند. همچنین لپو پلی ساکارید (Lipopolysaccharide: LPS) تولید این سایتوکین‌ها را توسط مونوسیت‌ها القا می‌کند.<sup>19</sup> IL-19 و IL-24 در کراتینوسیت‌ها یا رده‌های سلولی کراتینوسیت‌ها STAT3 را فعال می‌کنند.<sup>20</sup> IL-19، ژن‌های Defensins (را التهابی نظیر کموکین‌ها، پروتئازها و دفنسین‌ها) را در پوست فراتنظیم می‌کند [۱۳]. انتقال پیام IL-19، IL-20 و IL-24 از طریق اتصال به یک گیرنده دو زنجیره‌ای به نام Jak/Stat1 و IL-20R2 از طریق فعال کردن مسیر Jak/Stat1 و Stat3 (صورت می‌گیرد [۱۴]). همچنین IL-20R2 قادر است با IL-22R کمپلکس گیرنده هترودایمر تشکیل دهد که ترجیحاً توسط IL-20 و IL-24 استفاده می‌شود [۱۵]. از آن جایی که نقش‌های زیستی و تنظیم اغلب اعضای خانواده سایتوکینی-IL-10 و گیرنده‌های آن‌ها در اینمانی مغز و آستروسیت‌ها مشخص نیست، به عنوان اولین گام در شناسایی نقش سایتوکین‌های این خانواده و گیرنده‌های آن‌ها، IL-20R1 و IL-20R2 برای مطالعه انتخاب شدند. همان طور که در بالا بیان شد سه عضو خانواده سایتوکینی IL-10، IL-19 و IL-24 با به کارگیری این گیرنده‌ها انتقال پیام می‌نمایند. این سایتوکین‌ها دارای نقش‌های مهمی در سیستم اینمانی است. به عنوان مثال مطالعات آثار IL-19 بر سلول‌های اینمانی و پیام‌هایی که قادر است IL-19 را فراتنظیم کند نشان می‌هد که IL-19 یک سایتوکین ایمونومادولاتور (Immunomodulators) است. به علاوه؛ این سایتوکین‌ها در پاتوژن‌بیماری‌های مختلفی نقش دارد. بنابراین شناسایی بیان این گیرنده‌ها توسط سلول‌های اینمانی موجود در سیستم اعصاب مرکزی برای مثال آستروسیت‌ها اهمیت دارد. مطالعات نشان می‌دهند IL-19، IL-20 و IL-24 در سلول‌های تک هسته‌ای موجود در مایع سینوویال (Synovial Fluid) بیماران مبتلا به روماتویید آرتیت (Rheumatoid Arthritis) فراتنظیم می‌شوند [۱۶-۱۷]. همچنین روشن شده است IL-19 و IL-24 در پاتوژن‌بیماری‌های پوستی نظیر پسوریاژیس (Psoriasis) نقش دارند [۱۸]. چندین مطالعه نشان داده است که IL-19 نقش اساسی در ایمونوپاتولوژی

آستروسیت‌ها و سایتوکین‌های مشتق از آن‌ها پاسخ‌های اینمانی را در سیستم اعصاب مرکزی آغاز و به صورت مناسبی هماهنگ می‌نمایند. به علاوه این سایتوکین‌ها می‌توانند ترکیبات اصلی و کلیدی در مکانیسم‌های شرکت کننده در نورودژنرasiون (Neurodegeneration) باشند. برهمکنش‌های نورونی- گلیال در تعیین آستانه فعال شدن آستروسیت‌ها در راستای تولید سایتوکین‌های التهابی نقش دارد. با توجه به نقش بالقوه آستروسیت‌ها در محافظت عصبی و نوروپاتولوژی (Neuropathology) پیش‌بینی می‌شود که سایتوکین‌ها با اعمال تنظیمی و گیرنده‌های اختصاصی می‌توانند عملکرد آستروسیت‌ها را به یک جهت مطلوب یا مضر تغییر دهند؛ برای مثال فرآیندهای ترمیم در بیماری‌های نوروپاتولوژیک یا نورودژنرasiون در شرایط التهابی تحت کنترل قرار می‌گیرند [۹]. خانواده IL-10، IL-19، IL-20، IL-22، IL-24، IL-26، IL-28 و IL-29 شامل کمپلکس‌ها با گیرنده‌های سایتوکینی سطح سلولی اختصاصی خانواده IL-10، مرحله اول در مسیرهای انتقال پیام است که این سایتوکین‌ها به کار می‌برند. برای تولید کمپلکس‌های انتقال پیام، دو زیر واحد مجزای گیرنده (نوع ۱ و ۲) مورد نیاز است. گیرنده‌های نوع ۱ دارای دومن‌های (Domains) درون سلولی Signal Transducer (and Activator of Transcription بلندتر است که می‌تواند STAT ۱ و STAT ۲ را فراخوانی کند. یک گیرنده با دومن درون سلولی کوتاه‌تر که با STAT ۳ برهمکنش نمی‌دهد نوع ۲ خوانده می‌شود [۱۲]. در ژنوم IL-10، IL-19 و IL-20 در نزدیکی یکدیگر قرار دارند و هومولوژی بسیار بالایی بین آن‌ها وجود دارد و به همین علت دارای ساختار سوم بسیار مشابهی هستند [۱۳].

IL-20 و IL-24 به طور اصلی توسط سلول‌های میلوبیلی (Myeloid Cells) و کراتینوسیت‌ها (Keratinocytes) ساخته می‌شوند و پاسخ‌های پیش التهابی را توسط القا کموکین‌ها (Chemokines) و سایتوکین‌ها در کراتینوسیت‌ها فعال می‌کنند. سلول‌های ابی تلیال منع تولید این سایتوکین‌ها

## مطالعه بیان اینترلوکین 20R1 و اینترلوکین 20R2

[4-(2-hydroxyethyl)-1-piperazineethanesulfonic acid ۱/۵ میلی لیتر تریپسین و ۷۵ میکرو لیتر DNAase متقل شد و به مدت ۵ دقیقه در ۳۷ درجه سانتی گراد انکوبه شد. قطعات کوچک بافت قشر به طور مکانیکی توسط یک پیپت پاستور به سوسپانسیون تک سلولی تبدیل شد و ذرات سلولی با فیلتراسیون از یک فیلتر سلولی ۷۵ میکرومتری خارج شد. سوسپانسیون سلولی به مدت ۸ دقیقه با سرعت ۸۰۰ دور در دقیقه سانتریفیوژ شد. کشت اولیه سلول گلیال در محیط DMEM حاوی ۱۰ درصد Fetal Calf Serum (FCS)، ۱۰۰ واحد در میلی لیتر پنی سیلین (Penicillin) و ۱۰۰ میکرو گرم بر میلی لیتر استرپتومایسین (Streptomycin) سوسپانسیون شد و در پلیت های کشت سلولی ۹۰ میلی متری پوشیده شده با پلی-ال-اورنیتین (Poly-L-ornithine) در انکوباتور ۳۷ درجه سانتی گراد کشت سلولی رشد داده شد. محیط کشت روز بعد، ۶ روز بعد و سپس دو مرتبه در هفته تعویض شد. ۹۰ درصد Confluence کشت ها ۱۴ تا ۱۸ روز پس از کشت اولیه به دست آمد.

سپس پلیت ها برای جداسازی سلول های غیر چسبنده [الیگودندروسیت ها (Oligodendrocytes) و میکرو گلیا] از آستروسیت ها روی شیکر (Shaker) به مدت ۲ ساعت با سرعت ۱۵۰ دور در دقیقه در ۳۷ درجه سانتی گراد تکان داده شد (Shaking off method). مایع رویی محیط کشت به منظور جداسازی این سلول ها توسط پیپت پاستور برداشته شد. آستروسیت ها توسط تریپسینه کردن به دست آمدند و در پلیت های کشت بافتی پوشیده شده با پلی-ال-اورنیتین در انکوباتور ۳۷ درجه سانتی گراد به مدت ۴۸ ساعت رشد داده شدند. برای به دست آوردن کشت خالص آستروسیت ها، ۲ مرتبه مراحل روش فوق و تریپسینه کردن تکرار شد.

### تعیین خلوص کشت آستروسیت ها به روش ایمونو سیتو شیمی با نشانگر اختصاصی GFAP

خلوص کشت سلول های آسترو گلیال توسط روش ایمونو سیتو شیمی (Immunocytochemistry) غیر مستقیم با

IL-19 (Immunopathology) پسوریازیس بازی می کند [۱۹]. بیان IL-19 در ضایعات پسوریاتیک در سرم بیماران مبتلا به آسم فراتنظیم می شود [۱۱]. IL-20 نقش مهمی در اعمال زیستی پوست دارد. افزایش بیان IL-20 در موش های ترا ریخت (Transgenic) منجر به مرگ نوزادان با اختلالات پوستی مشابه پسوریازیس می شود [۲۰]. IL-24 سبب توقف رشد غیرقابل بازگشت تومورها توسط القای مرگ سلولی برنامه ریزی شده (Apoptosis) یا تمایز می شود [۱۳]. تاکنون بیان گیرنده های IL-20R1 و IL-20R2 توسط آستروسیت ها و بنابراین پاسخ گویی آنها به IL-19، IL-20 و IL-24 بررسی نشده است. در این مطالعه آستروسیت های حاصل از قشر مغز موش های نوزاد C57BL/6 و رده سلولی (1321N1 Astrocytoma Cell Line) 1321N1 آستروسیتوما (Astrocytoma) توسط پیتید MOG (یکی از آنتی ژن های میلین که مورد حمله سلول های T قرار می گیرد و در بیماری ای MS نقش دارد)، Ovalbumin (OVA) به عنوان پیتید کنترل، LPS و GM-CSF به صورت جداگانه تحریک شدند و تأثیر آن بر تولید گیرنده های IL-20R1 و IL-20R2 به روشن فلورسیتومتری بررسی شد. به علاوه؛ تأثیر LPS بر تولید IL-20R2 mRNA و گیرنده های سایتوکینی IL-20R1 و IL-20R2 توسط آستروسیت های به روش RT-PCR مطالعه شد.

### مواد و روش ها

#### کشت آستروسیت ها از مغز موش های C57BL/6

سلول های آسترو گلیال موش های C57BL/6 با تغییرات اندکی از روش مک کارتی (McCarthy) به دست آمدند [۲۱]. کورتکس از مغز موش های نوزاد C57BL/6 یک تا پنج روزه و منثر با استفاده از یک استریومیکروسکوپ به طور کامل جدا شد. کورتکس ها به قطعات کوچک بریده شد و همراه با ۱/۵ میلی لیتر Dulbecco's Modified Eagle's Minimum) DMEM (Essential Medium Hanks' Balanced Salt Solution- ] HBSS-HEPES میلی لیتر

پلیت‌های ۲۴ خانه با پیتیدهای نوترکیب MOG (MOG 35-55) MOG موشی (Alexis، آمریکا) و اوالبومین (OVA323-339) موشی (ANASPECT) هر کدام به غلاظت ۳۰ میکروگرم در میلی‌لیتر R&D و همچنین سایتوکین نوترکیب GM-CSF موشی (آمریکا) به غلاظت ۱۰ نانوگرم در میلی‌لیتر و LPS از اشیریشیا کلی (*Escherichia coli*) سروتیپ 0127:B8 (Sigma، آمریکا) به غلاظت ۱۰ میکروگرم در میلی‌لیتر در انکوباتور ۳۷ درجه سانتی‌گراد کشت سلولی کشت داده شدند. سلول‌ها توسط پارافرمالدهید ۴ درصد به مدت ۳۰ دقیقه ثبیت شدند. پس از آن با آنتی‌بادی anti-GFAP موشی به مدت ۱۶ ساعت در یخچال انکوبه شدند. سپس سه بار توسط بافر Buffered PBS (Saline Alexa Fluor 488، آلمان) شستشو شدند و با آنتی‌بادی ثانویه (Invitrogen dye-labeled goat anti-rabbit IgG به مدت ۱ ساعت در دمای اتاق در تاریکی انکوبه شدند. پس از سه بار شستشو با PBS، هسته سلول‌ها توسط DAPI (4',6-diamidino-2-phenylindole، آلمان) Coverslip را بار شستشو با (Merk Mowiol) به مدت ۲۴ ساعت در دمای اتاق در تاریکی ثبیت و توسط میکروسکوپ فلورسنت و کانفوکال شمارش و تجزیه و تحلیل شد.

آنتی‌بادی ضد موشی NorthernLight IL-20RB (R&D)، آنتی‌بادی ضد موشی IgG (R&D) Anti-sheep IgG-NL557 و طبیعی گوسفتند به عنوان ایزوتوپ کنترل (R&D) در سنجش IL-20R2 به روش فلوسیتومتری به کار رفت. آسترودیت‌ها و سلول آسترودیتومای 1321N1 تیمار شده و رده سلولی A375 توسط انکوباسیون با تریپسین / EDTA در ۳۷ درجه سانتی‌گراد به مدت ۵ دقیقه جداسازی و برداشته شدند. سلول‌ها دو مرتبه در بافر شستشو (PBS، ۳ درصد FBS و ۰/۰۱ درصد سدیم آزید) شسته شدند.

آسترودیت‌ها در ۵۰ میکرولیتر بافر رنگ‌آمیزی (PBS، ۳ درصد FBS و ۰/۰۱ درصد سدیم آزید) سوسپانسیون و با آنتی‌بادی‌های اولیه (آنتی‌بادی‌های ضد موشی RA و IL-20RA) به مدت ۱ ساعت روی یخ انکوبه شدند. سلول‌ها دو بار با بافر شستشو (PBS، ۱ درصد FBS و

(Glial Fibrillary Acidic Protein) anti-GFAP آنتی‌بادی (Dakopatts، آمریکا) تعیین شد. برای تسهیل اتصال، آسترودیت‌ها روی Coverslip های پوشانده شده با پلی-ال-اکریلیک به مدت ۲۴ ساعت در انکوباتور ۳۷ درجه سانتی‌گراد کشت سلولی کشت داده شدند. سلول‌ها توسط پارافرمالدهید ۴ درصد به مدت ۳۰ دقیقه ثبیت شدند. پس از آن با آنتی‌بادی Phosphate Buffered PBS (Saline Alexa Fluor 488، آلمان) شستشو شدند و با آنتی‌بادی ثانویه (Invitrogen dye-labeled goat anti-rabbit IgG به مدت ۱ ساعت در دمای اتاق در تاریکی انکوبه شدند. پس از سه بار شستشو با PBS، هسته سلول‌ها توسط DAPI (4',6-diamidino-2-phenylindole، آلمان) Coverslip را بار شستشو با (Merk Mowiol) به مدت ۲۴ ساعت در دمای اتاق در تاریکی ثبیت و توسط میکروسکوپ فلورسنت و کانفوکال شمارش و تجزیه و تحلیل شد.

**کشت رده‌های سلولی A375 حاصل از پوست انسان مبتلا به ملانومای بدخیم (Malignant Melanoma)، با ریخت‌شناسی شبه سلول‌های**

### اپی‌تلیال و آسترودیتومای 1321N1

سلول A-375 در محیط RPMI حاوی ۱۰ درصد FCS رشد داده شد. این رده سلولی به طور خودبه‌خود گیرنده IL-20R1 و IL-20R2 را بیان می‌نماید. رده سلولی آسترودیتومای 1321N1 در محیط DMEM حاوی ۱۵ درصد FCS کشت داده شد.

**بررسی بیان گیرنده IL-20R1 و IL-20R2 بر سطح آسترودیت‌های موش، رده‌های سلولی آسترودیتومای A375 و 1321N1 به روش فلوسیتومتری**

آسترودیت‌ها و رده سلولی آسترودیتومای 1321N1 در

## مطالعه بیان اینترلوکین 20R1 و اینترلوکین 20R2

کشت آستروسیت‌ها بدون محرك LPS بود.

### استخراج RNA

RNA از آستروسیت‌های تیمار شده و کنترل با استفاده از تریزول بر طبق دستورالعمل تولید کننده استخراج شد.

### cDNA سنتز

cDNA تک زنجیره‌ای توسط نسخه‌برداری معکوس ۲ میکروگرم از RNA در حجم واکنش ۲۰ میکرولیتر با استفاده از کیت RNT (Applied Biosystem، آمریکا) بر طبق دستورالعمل تولید کننده ساخته شد. شرایط سنتز cDNA ۲۵ درجه سانتی‌گراد، ۳۷ درجه سانتی‌گراد و ۸۵ درجه سانتی‌گراد، به ترتیب به مدت ۱۰ دقیقه، ۲ ساعت و ۵ دقیقه.

### واکنش RT-PCR

تکثیر الگوی cDNA در حجم ۲۵ میکرولیتر (۲ میکرولیتر الگوی cDNA، ۵ میکرولیتر بافر PCR، ۰/۵ میکرولیتر از dNTPs ۰/۲۵ میکرولیتر از Taq polymerase و ۵ میکرولیتر آغازگرهای (Primers) (جلوبی و معکوس) انجام شد. آغازگر ژن بتا اکتین به عنوان کنترل داخلی استفاده شد. توالی آغازگرهای مورد استفاده در جدول ۱ نمایش داده است.

۱۰۰ درصد سدیم آزید) شسته شدند. سلول‌ها با آنتی‌بادی‌های NorthernLight Anti-sheep IgG-NL557 و Goat Anti-Rabbit IgG Rhodamine و ۴ درجه سانتی‌گراد در تاریکی انکوبه شدند. سپس سلول‌ها دو بار با بافر شستشو شدند. در لوله‌های جداگانه ۵۰ میکرولیتر از سوسپانسیون سلولی با ایزووتایپ کنترل‌ها رنگ‌آمیزی شد. در این رنگ‌آمیزی به جای استفاده از آنتی‌بادی‌های اولیه از IgG طبیعی خرگوش و IgG گوسفند استفاده شد. سلول‌ها برای بررسی بیان پروتئین IL-20R1 و IL-20R2 توسط BD FACSCalibur flow cytometer (Bioscience، آمریکا) تجزیه و تحلیل شدند.

**مطالعه بیان mRNA ژن‌های IL-20R1 و IL-20R2 و بتا اکتین (β-actin) در آستروسیت‌های C57BL/6 حاصل از قشر مغز موش‌های نوزاد**

### تحریک شده توسط RT-PCR به روشن

آستروسیت‌ها ۲ روز قبل از انجام آزمایش در پتربی دیش‌های ۹۰ میلی‌متری پوشیده شده با پلی -ال -اورنیتین (برای استخراج mRNA توسط تریزول) در انکوباتور ۳۷ درجه سانتی‌گراد کشت داده شدند. سپس توسط LPS با غلظت ۱۰ میکروگرم در میلی‌لیتر به مدت ۲۴ ساعت تحریک شدند. چاهک کنترل

جدول ۱ توالی آغازگرهای مورد استفاده

آغازگر معکوس	آغازگر جلویی	ژن
TCT GCC TCC AGC CTC AGG TT GAC AGT ATG CTC CTG ACC CAGG CTA GGT GCA CCG GAA TGTC TTTGATGTCACG CAC GATT	GGC GCT CAA TGC TGG CTT CA GGCACAAAGAGTC TTT GAA CCTACT G GTC TGG ACA AGT CCG TTC ATG GGG AAT GGG TCA GAA GGA CT	GFAP IL-20R1 IL-20R2 بتا اکتین

توالی‌ها از سمت چپ به راست (نوکلئوتید ۵ به نوکلئوتید ۳) نوشته شده است.

اتیدیوم بروماید (Ethidium Bromide) در ۱۲۰ میلی‌ولت به مدت ۲۰ دقیقه الکتروفورز و توسط دستگاه UV

### الکتروفورز محصولات PCR

محصولات PCR روی ژل آکارز ۲ درصد حاوی ۱۰ میکرولیتر

آستروسیت‌های حاصل از معز موش‌های نوزاد 6 C57BL و رده‌های سلولی آستروسیتوما 1321N1 و A375 به روش فلوسایتومتری بررسی شد. آستروسیت‌ها و رده سلولی آستروسیتوما 1321N1 توسط پیتیدهای نوترکیب MOG و OVA و همچنین سایتوكین نوترکیب GM-CSF و LPS به مدت ۲۴ ساعت تحریک شدند. چاهک‌های کترول کشت بدون محرك‌های MOG و GM-CSF و LPS بود. سلول‌های رنگ نشده به عنوان کترول استفاده شدند. ایزوتابیپ کترول‌ها با آنتی‌بادی‌های ایزوتابیپ رنگ‌آمیزی شدند.

رده سلولی A375 به طور خودبه‌خود گیرنده‌های IL-20R1 و IL-20R2 را بیان می‌نماید و به عنوان کترول مثبت استفاده شد. اطلاعات به دست آمده توسط نرم‌افزار WinMDI تجزیه و تحلیل شد و درصد بیان گیرنده‌ها به صورت نمودار نقطه‌ای شکل ۲ نمایش داده شده است. در این آزمایش‌ها IL-20R1 و IL-20R2 توسط آستروسیت‌ها و رده سلولی آستروسیتوما 1321N1 بیان نشد.

**بیان mRNA ژن‌های IL-20R2، IL-20R1 و GFAP (نشانگر اختصاصی آستروسیت‌ها) و بتا اکتین (کترول مثبت)، در آستروسیت‌های حاصل از قشر مغز موش‌های نوزاد C57/BL6 تحریک شده توسط LPS به روش RT-PCR**

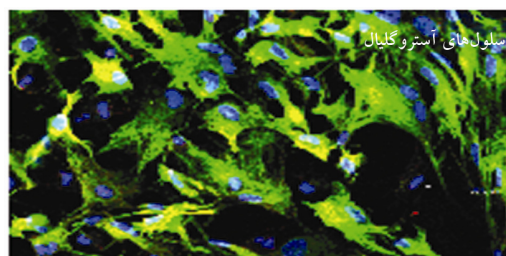
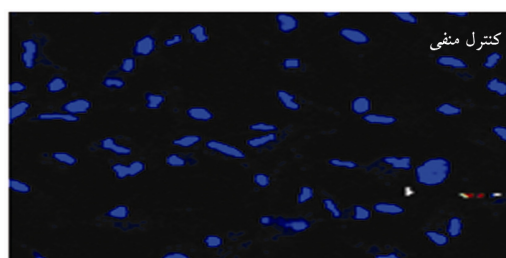
برای بررسی بیان mRNA ژن‌های IL-20R2، IL-20R1، GFAP، بتا اکتین آستروسیت‌ها در حضور و غیاب LPS (۱۰ میکروگرم در میلی‌لیتر) به مدت ۲۴ ساعت تحریک شدند. چاهک کترول کشت آستروسیت‌ها بدون محرك LPS بود. آستروسیت‌های حاصل از قشر مغز موش‌های نوزاد C57/BL6 در حضور و غیاب LPS قادر به بیان ژن‌های IL-20R2 و IL-20R1 بودند. نتایج به دست آمده از الکتروفورز محصولات PCR در شکل ۳ نشان داده شده است.

Transilluminator مشاهده و بررسی شد.

## نتایج

### خلوص کشت آستروسیت‌ها

خلوص کشت‌ها توسط روش ایمونوستیوژنیکی غیرمستقیم با نشانگر اختصاصی آستروسیتی (GFAP) تعیین شد. سلول‌های رنگ‌آمیزی شده با نشانگر اختصاصی با استفاده از میکروسکوپ فلورسانس شمارش شدند. خلوص سلول‌ها حدود ۹۵ درصد تخمین زده شد. آستروسیت‌های رنگ‌آمیزی شده با GFAP و کترول منفی در شکل ۱ نمایش داده شده است.

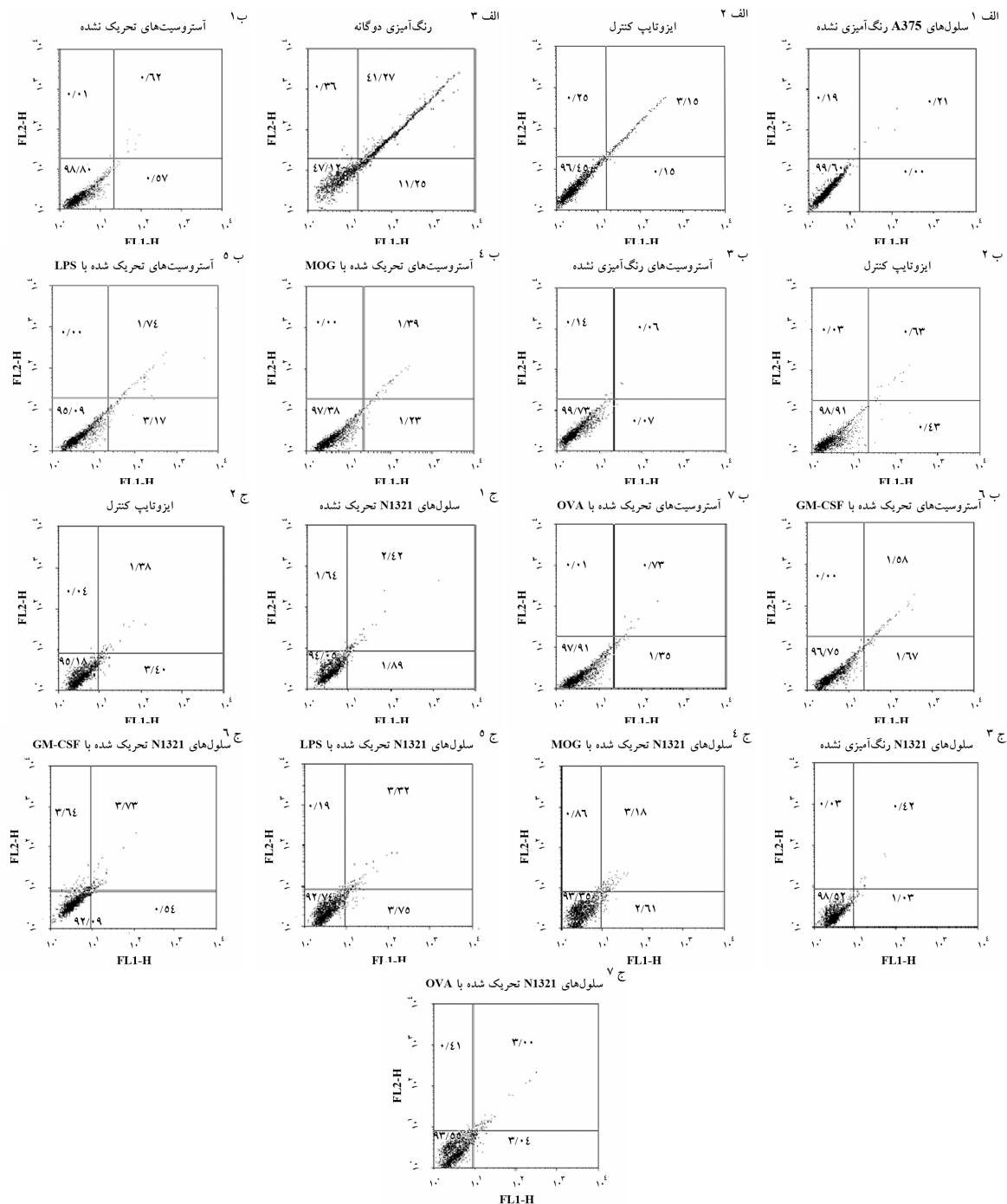


شکل ۱ تجزیه و تحلیل میکروسکوپ کانفوکال واکنش ایمونوستیوژنیکی برای تعیین خلوص کشت سلول‌های آستروگلیال؛ آستروسیت‌های رنگ‌آمیزی شده با anti-GFAP موشی به رنگ سبز و هسته‌ها توسط DAPI به رنگ آبی در آمدند. GFAP anti-GFAP و فقط از آنتی‌بادی ثانویه DAPI استفاده شده است. (بزرگنمایی ×۴۰)

### بیان گیرنده‌های IL-20R1 و IL-20R2 توسط آستروسیت‌ها و رده‌های سلولی آستروسیتوما A375 و 1321N1

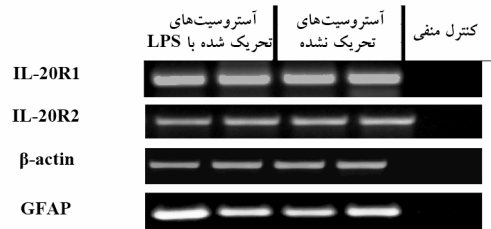
در این مطالعه بیان IL-20R1 و IL-20R2 توسط

مطالعه بیان اینتلرولوکین 20R1 و اینتلرولوکین 2



شکل ۲ بیان 1 IL-20R1 و IL-20R2 توسط رده سلولی A375 (کنترل مثبت)، آستروسیت‌ها و رده سلولی آستروسیتوما 1321N1 در پاسخ به تحریک GM-CSF، OVA، MOG و LPS به مدت ۲۴ ساعت به روش فلوسایتومنتری؛ (الف ۱-۳) درصد بیان 1 IL-20R1 و IL-20R2 و IL-20R1 و IL-20R2 در سلولی A375 که قادر به بیان ساختاری و دائمی این گیرنده‌ها است ۴/۱۷ است. همان طور که در شکل نشان داده شده است درصد بیان گیرنده‌ها در آبزوتاپ کنترل و سلول‌های رنگ آمیزی نشده بسیار پایین است؛ بنابراین رنگ آمیزی دوگانه است. (ب-۱) گیرنده‌های IL-20R1 و IL-20R2 توسط آستروسیت‌های موش، در پاسخ به تحریک OVA، GM-CSF، LPS، MOG، GM-CSF، OVA، MOG و OVA پایین نشود. آبزوتاپ کنترل، سلول‌های رنگ آمیزی نشده و سلول‌های تحریک نشده برای اطمینان از درستی نتیجه آزمایش فلوسایتومنتری استفاده شد. (ج-۱) همان طور که در نمودار نقطه‌ای نمایش داده شده است IL-20R1 و IL-20R2 در سلولی آستروسیتوما 1321N1 در پاسخ به LPS، MOG، GM-CSF و OVA با روش فلوسایتومنتری تشخیص داده نشد. آبزوتاپ کنترل، سلول‌های رنگ آمیزی نشده و سلول‌های تحریک نشده برای اطمینان از درستی نتایج فلوسایتومنتری استفاده شد.

توجه به مشاهدات فوق این پرسشنگ مطرح می‌شود که آیا اختلال در بیان ساختاری این گیرنده‌ها می‌تواند سبب بروز برخی اختلالات ایمونولوژیک در مغز شود؟ کراتینوستیت‌ها و دیگر سلول‌های اپیتلیال منبع IL-19 و IL-20 هستند. این سایتوکین‌ها در پسوردیازیس نقش دارند زیرا بیان آن‌ها با پیشرفت بیماری افزایش می‌یابد. تجزیه و تحلیل کمی بیان mRNA گیرنده‌های IL-19، IL-20 و IL-24 نشان داده است که سلول‌های استرومای/پارانشیمی (Stromal/Parenchymal Cells) اهداف اصلی این سایتوکین‌ها هستند. با توجه به منابع سلول ایمنی، این سایتوکین‌ها کاندید ارتباط بین سلول‌های پارانشیمی ساکن اندام‌های مختلف با لکوسیت‌های ارتشاجی به بافت، مونوستیت‌ها و سلول‌های عرضه کننده آنتیژن است. در مقایسه با سطوح بالای بیان mRNA گیرنده‌های IL-22R، IL-20R1 و IL-20R2 در برخی سلول‌های پارانشیمی نظیر پوست، بیان دائمی و ساختاری mRNA این گیرنده‌های در سلول‌های لنفویید پایین است [۲۵]. در تحقیق حاضر برای اولین بار بیان گیرنده‌های IL-20R1 و IL-20R2 در آستروستیت‌ها و رده سلولی آستروستیوما ۱۳۲۱N1 بررسی شد. IL-19 در سیستم ایمنی اغلب توسط مونوستیت‌ها تولید می‌شود. ژن IL-19 توسط GM-CSF و IL-4، IFN- $\gamma$ ، LPS و TNF- $\alpha$  در این سایتوکین است. در مقابل برخی مطالعات گزارش کردند که IL-19 ضد التهابی است. برای مثال IL-19 در سلول‌های تک هسته‌ای خون محیطی را افزایش می‌دهد، این مشاهدات پیشنهاد می‌کند که IL-19 نقش مهمی در سیستم ایمنی دارد [۱۶]. نشان داده شده است که IL-19 و IL-20 به زنجیره IL-20R1 در محلول متصل نمی‌شوند، اما به نسبت مولار ۱:۱ به زنجیره IL-20R2 متصل می‌شوند. به علاوه؛ زنجیره‌های



شکل ۳ بیان mRNA ژن‌های IL-20R1، IL-20R2 و بتا اکتین توسط آستروستیت‌های حاصل از قشر مغز موش‌های نوزاد C57/BL6 در حضور و غیاب LPS (۱۰ میکروگرم در میلی‌لیتر) به مدت ۲۴ ساعت. همان‌گونه که در شکل مشاهده می‌شود آستروستیت‌ها در حضور و غیاب LPS قادر به بیان mRNA ژن‌های IL-20R1 و IL-20R2 هستند. همچنین GFAP و بتا اکتین به ترتیب برای نشانگر اختصاصی سلول‌های آستروگلیال و کترل داخلی به کار رفته است.

## بحث

هدف از انجام این مطالعه بررسی بیان گیرنده‌های IL-20R1 و IL-20R2 از خانواده سایتوکین‌های تنظیمی در کترل فعالیت آستروستیت‌ها و رده سلولی آستروستیوما ۱۳۲۱N1 است. گیرنده IL-19 در تعدادی از بافت‌ها شامل پوست، بیضه، تخمدان، قلب، ریه، عضله، جفت، غده آدرنال، روده کوچک و غده بزاو یافت شده است [۲۲]. هپاتوستیت‌ها (Hepatocytes) نیز یک هترودایمر کارآی IL-20R را بیان می‌نمایند [۲۳]. گیرنده‌های IL-20R1 و IL-20R2 به میزان زیادی بر سطح کراتینوستیت‌های سراسر اپیدرمیس (Epidermis)، در سلول‌های ایمنی و اندوتیال (Endothelial Cells) بیان می‌شوند. افزایش بیان گیرنده فعال R-IL-20R و برهmekنش‌های بین سلول‌های اندوتیال، سلول‌های ایمنی و کراتینوستیت‌ها منجر به عدم تنظیم تکثیر و تمایز کراتینوستیت‌ها می‌شود. پروتئین IL-20R2 به میزان بالایی به روش ایمونوهویستوژنیکی بر کراتینوستیت‌های بازال و سوپر بازال پوست سالم رنگ‌آمیزی شده است و در پوست پسوردیاتیک انسان در مقایسه با پوست سالم فراتنظیم می‌شوند [۲۴]. یافته‌های مطالعه حاضر نشان می‌دهد که بیان mRNA این گیرنده‌ها به صورت ساختاری در آستروستیت‌ها رخ می‌دهد، با

## مطالعه بیان اینترلوکین 20R1 و اینترلوکین 20R2

همچنین در این مطالعه بیان mRNA-IL-20R1 و IL-20R2 در آستروسیت‌ها پس از تحریک با LPS ارزیابی شد. نتایج بدست آمده نشان می‌دهد که آستروسیت‌های حاصل از قشر مغز موش‌های نوزاد C57/BL6 در حضور و غیاب LPS قادر به بیان این ژن‌ها هستند. با توجه به این که آستروسیت‌هایی که در اینمی مغز نقش دارند در قشر ساکن هستند، این یافته‌ها دارای اهمیت است.

آزمایش‌های بیشتر در سطح بیان پروتئین این گیرنده‌های به روش وسترن بلات (Western Blot) و نیز بیان کمی mRNA در شرایط مختلف با استفاده از محرك‌های گوناگون به روش Real-Time PCR و تحقیقات بیشتر که نقش آستروسیت‌ها و IL-20R1 و IL-20R2 را در اینمی مغز و التهاب مشخص نمایند ضروری است. در بیشتر فرآیندهای نوروپاتولوژیک که آستروسیت‌ها و سایتوکین‌ها نقش دارند، شناسایی عوامل التهاب در شناخت کامل‌تر علل و فرآیند بیماری‌زایی در مغز اهمیت دارد.

## تشکر و قدردانی

این مقاله نتیجه طرح تحقیقاتی مصوب دانشگاه علوم پزشکی و خدمات بهداشتی درمانی تهران به شماره ۰۴-۸۸-۱۰۲۳۹-۴۰ می‌باشد. از معاونت محترم پژوهشی دانشگاه تربیت مدرس و مرکز تحقیقات ایمونولوژی، آسم و آلرژی که هزینه‌های این پژوهش را تأمین نمودند سپاسگزاری می‌گردد. بخشنی از این مطالعه در پژوهشگاه ملی مهندسی ژنتیک و زیست‌فناوری انجام گرفته است.

R1 و R2 نمی‌توانند به یکدیگر متصل شوند و کمپلکس پایدار ۱:۱ فقط در حضور لیگاند تشکیل می‌شود. این مشاهدات پیشنهاد می‌کند که هر دو سایتوکین ابتدا به زنجیره IL-20R2 متصل شده و این آرایش باعث تغییر ساختار فضایی پروتئین سایتوکین‌ها می‌شود که آن‌ها را قادر به اتصال به یکی از زنجیره‌های R1 می‌نماید: زنجیره IL-20R1 یا IL-22R1 سپس تجمع دو زنجیره گیرنده منجر به انتقال پیام می‌شود [۲۷]. به علاوه پلتون (Pletnev) نشان داده است که IL-19 و IL-20 کمپلکس‌های سه‌گانه پایدار ۱:۱:۱ با گیرنده‌های محلول sIL-20R1 و sIL-20R2 و همچنین کمپلکس‌های دوگانه با میل ترکیبی بالا با sIL-20R2 تشکیل می‌دهد. جالب است که میل ترکیبی بالا به تنهایی به IL-19 و IL-20 متصل نمی‌تواند به تنهایی به IL-20R1 شود. بنابراین یکی از مکانیسم‌های ترتیبی ممکن تشکیل کمپلکس انتقال پیام سه‌گانه می‌تواند شامل دو مرحله باشد: ابتدا لیگاند به گیرنده II متصل می‌شود و یک جایگاه اتصال با میل ترکیبی بالا برای گیرنده I به وجود می‌آورد و سپس گیرنده I کمپلکس را کامل می‌کند [۲۸].

در این تحقیق بیان پروتئین IL-20R1 و IL-20R2 به روش فلوسایتومتری بر سطح آستروسیت‌ها و رده سلولی آستروسیتوما 1321N1 مطالعه شد. بر مبنای روش‌های استفاده شده در بررسی حاضر شامل روش فلوسایتومتری با توجه به آنتی‌بادی‌های استفاده شده و روش تحریک سلول‌ها بیان پروتئین IL-20R1 و IL-20R2 بر سطح آستروسیت‌ها و رده سلولی آستروسیتوما 1321N1 تشخیص داده نشد. البته بیان این گیرنده‌ها در مطالعه حاضر در سطح سلول‌های کنترل مثبت (رده سلولی A375) یافت شد.

## منابع

- [1] Gee JR, Keller JN. Astrocytes: regulation of brain homeostasis via apolipoprotein E. *Int J Biochem Cell Biol* 2005; 37(6): 1145-50.
- [2] Kriegstein A, Alvarez-Buylla A. The glial
- nature of embryonic and adult neural stem cells. *Annu Rev Neurosci* 2009; 32: 149-84.
- [3] Kidd T, Bland KS, Goodman CS. Slit is the midline repellent for the robo receptor in

- Drosophila. *Cell* 1999; 96(6): 785-94.
- [4] Bunker GA. Trophic interactions between astroglial cells and hippocampal neurons in culture. *Science* 1980; 209(4458): 809-10.
- [5] Ullian EM, Sapperstein SK, Christopherson KS, Barres BA. Control of synapse number by glia. *Science* 2001; 291(5504): 657-61.
- [6] Christopherson KS, Ullian EM, Stokes CC, Mullowney CE, Hell JW, Agah A, Lawler J, Mosher DF, Bornstein P, Barres BA. Thrombospondins are astrocyte-secreted proteins that promote CNS synaptogenesis. *Cell* 2005; 120(3): 421-33.
- [7] Eroglu C, Allen NJ, Susman MW, O'Rourke NA, Park CY, Ozkan E, Chakraborty C, Mulinyawe SB, Annis DS, Huberman AD, Green EM, Lawler J, Dolmetsch R, Garcia KC, Smith SJ, Luo ZD, Rosenthal A, Mosher DF, Barres BA. Gabapentin receptor alpha2delta-1 is a neuronal thrombospondin receptor responsible for excitatory CNS synaptogenesis. *Cell* 2009; 139(2): 380-92.
- [8] Kort JJ, Kawamura K, Fugger L, Weissert R, Forsthuber TG. Efficient presentation of myelin oligodendrocyte glycoprotein peptides but not protein by astrocytes from HLA-DR2 and HLA-DR4 transgenic mice. *J Neuroimmunol* 2006; 173(1-2): 23-34.
- [9] Aschner M. Immune and inflammatory responses in the CNS: modulation by astrocytes. *Toxicol Lett* 1998; 102-103: 283-7.
- [10] Commins S, Steinke JW, Borish L. The extended IL-10 superfamily: IL-10, IL-19, IL-20, IL-22, IL-24, IL-26, IL-28, and IL-29. *J Allergy Clin Immunol* 2008; 121(5): 1108-11.
- [11] Liao SC, Cheng YC, Wang YC, Wang CW, Yang SM, Yu CK, Shieh CC, Cheng KC, Lee MF, Chiang SR, Shieh JM, Chang MS. IL-19 induced Th2 cytokines and was up-regulated in asthma patients. *J Immunol* 2004; 173(11): 6712-8.
- [12] Wei CC, Chang MS. Mouse interleukin-20 receptor 1a targets renal epithelial cells and is associated with renal calcium deposition. *Genes Immun* 2009; 10(3): 237-47.
- [13] Ouyang W, Rutz S, Crellin NK, Valdez PA, Hymowitz SG. Regulation and functions of the IL-10 family of cytokines in inflammation and disease. *Annu Rev Immunol* 2011; 29: 71-109.
- [14] Dumoutier L, Leemans C, Lejeune D, Kotenko SV, Renaud JC. Cutting edge: STAT activation by IL-19, IL-20 and mda-7 through IL-20 receptor complexes of two types. *J Immunol* 2001; 167(7): 3545-9.
- [15] Gallagher G, Eskdale J, Jordan W, Peat J, Campbell J, Boniotto M, Lennon GP, Dickensheets H, Donnelly RP. Human interleukin-19 and its receptor: a potential role in the induction of Th2 responses. *Int Immunopharmacol* 2004; 4(5): 615-26.
- [16] Sakurai N, Kuroiwa T, Ikeuchi H, Hiramatsu N, Maeshima A, Kaneko Y, Hiromura K, Nojima Y. Expression of IL-19 and its receptors in RA: potential role for synovial hyperplasia formation. *Rheumatology (Oxford)* 2008; 47(6): 815-20.
- [17] Alanärä T, Karstila K, Moilanen T, Silvennoinen O, Isomäki P. Expression of IL-10 family cytokines in rheumatoid arthritis: elevated levels of IL-19 in the joints. *Scand J Rheumatol* 2010; 39(2): 118-26.
- [18] Kunz S, Wolk K, Witte E, Witte K, Doecke

مطالعه بیان اینترلوکین 20R1 و اینترلوکین 20R2

- WD, Volk HD, Sterry W, Asadullah K, Sabat R. Interleukin (IL)-19, IL-20 and IL-24 are produced by and act on keratinocytes and are distinct from classical ILs. *Exp Dermatol* 2006; 15(12): 991-1004.
- [19] Sa SM, Valdez PA, Wu J, Jung K, Zhong F, Hall L, Kasman I, Winer J, Modrusan Z, Danilenko DM, Ouyang W. The effects of IL-20 subfamily cytokines on reconstituted human epidermis suggest potential roles in cutaneous innate defense and pathogenic adaptive immunity in psoriasis. *J Immunol* 2007; 178(4): 2229-40.
- [20] Blumberg H, Conklin D, Xu WF, Grossmann A, Brender T, Carollo S, Eagan M, Foster D, Haldeman BA, Hammond A, Haugen H, Jelinek L, Kelly JD, Madden K, Maurer MF, Parrish-Novak J, Prunkard D, Sexson S, Sprecher C, Wagstaff K, West J, Whitmore TE, Yao L, Kuechle MK, Dale BA, Chandrasekher YA. Interleukin 20: discovery, receptor identification, and role in epidermal function. *Cell* 2001; 104(1): 9-19.
- [21] McCarthy KD, de Vellis J. Preparation of separate astroglial and oligodendroglial cell cultures from rat cerebral tissue. *J Cell Biol* 1980; 85(3): 890-902.
- [22] Parrish-Novak J, Xu W, Brender T, Yao L, Jones C, West J, Brandt C, Jelinek L, Madden K, McKernan PA, Foster DC, Jaspers S, Chandrasekher YA. Interleukins 19, 20, and 24 signal through two distinct receptor complexes. Differences in receptor-ligand interactions mediate unique biological functions. *J Biol Chem* 2002; 277(49): 47517-23.
- [23] Wegenka UM, Dikopoulos N, Reimann J, Adler G, Wahl C. The murine liver is a potential target organ for IL-19, IL-20 and IL-24: Type I Interferons and LPS regulate the expression of IL-20R2. *J Hepatol* 2007; 46(2): 257-65.
- [24] Wei CC, Chen WY, Wang YC, Chen PJ, Lee JY, Wong TW, Chen WC, Wu JC, Chen GY, Chang MS, Lin YC. Detection of IL-20 and its receptors on psoriatic skin. *Clin Immunol* 2005; 117(1): 65-72.
- [25] Wahl C, Müller W, Leithäuser F, Adler G, Oswald F, Reimann J, Schirmbeck R, Seier A, Weiss JM, Prochnow B, Wegenka UM. IL-20 receptor 2 signaling down-regulates antigen-specific T cell responses. *J Immunol* 2009; 182(2): 802-10.
- [26] Liao YC, Liang WG, Chen FW, Hsu JH, Yang JJ, Chang MS. IL-19 induces production of IL-6 and TNF-alpha and results in cell apoptosis through TNF-alpha. *J Immunol* 2002; 169(8): 4288-97.
- [27] Sabat R. IL-10 family of cytokines. *Cytokine Growth Factor Rev* 2010; 21(5): 315-24.
- [28] Pletnev S, Magracheva E, Kozlov S, Tobin G, Kotenko SV, Wlodawer A, Zdanov A. Characterization of the recombinant extracellular domains of human interleukin-20 receptors and their complexes with interleukin-19 and interleukin-20. *Biochemistry* 2003; 42(43): 12617-24.